

Messung und Rechnung beim Bogenlauf von Schienenfahrzeugen

Autor(en): **Pflanz, Karl**

Objektyp: **Article**

Zeitschrift: **Schweizerische Bauzeitung**

Band (Jahr): **70 (1952)**

Heft 5

PDF erstellt am: **11.07.2024**

Persistenter Link: <https://doi.org/10.5169/seals-59550>

Nutzungsbedingungen

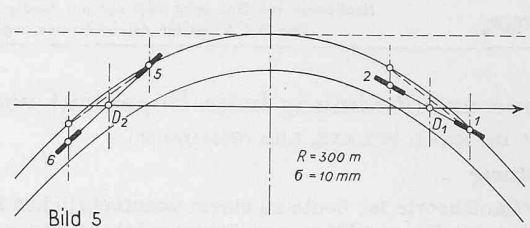
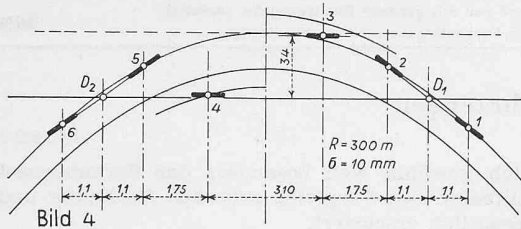
Die ETH-Bibliothek ist Anbieterin der digitalisierten Zeitschriften. Sie besitzt keine Urheberrechte an den Inhalten der Zeitschriften. Die Rechte liegen in der Regel bei den Herausgebern.

Die auf der Plattform e-periodica veröffentlichten Dokumente stehen für nicht-kommerzielle Zwecke in Lehre und Forschung sowie für die private Nutzung frei zur Verfügung. Einzelne Dateien oder Ausdrucke aus diesem Angebot können zusammen mit diesen Nutzungsbedingungen und den korrekten Herkunftsbezeichnungen weitergegeben werden.

Das Veröffentlichen von Bildern in Print- und Online-Publikationen ist nur mit vorheriger Genehmigung der Rechteinhaber erlaubt. Die systematische Speicherung von Teilen des elektronischen Angebots auf anderen Servern bedarf ebenfalls des schriftlichen Einverständnisses der Rechteinhaber.

Haftungsausschluss

Alle Angaben erfolgen ohne Gewähr für Vollständigkeit oder Richtigkeit. Es wird keine Haftung übernommen für Schäden durch die Verwendung von Informationen aus diesem Online-Angebot oder durch das Fehlen von Informationen. Dies gilt auch für Inhalte Dritter, die über dieses Angebot zugänglich sind.



β) Anteil der Mittelachsen 3 und 4

Auf Bild 4 ist die Stellung der Lokomotive im Versuchsbogen von $R = 300$ m gezeichnet. Nach einer noch später folgenden Begründung ist Aussenanlauf aller Drehgestellachsen, d.h. Sehnenstellung des ganzen Fahrzeuges angenommen. Der Reibungsmittelpunkt M der Mittelachsen 3 und 4 liegt daher in der Hauptrahmen-Längsmittle zwischen D_1 und D_2 (Bild 3). Die Schwenkung des Hauptrahmens erfolgt gemäss der eingetragenen Fahrtrichtung im Uhrzeiger-Sinn und erzeugt in den Rad-Aufstandspunkten A_3, A'_3, A_4 und A'_4 , die Längskomponenten der Reibungswiderstände μQ , nämlich: $\Phi_{3x} = \Phi'_{3x} = \Phi_{4x} = \Phi'_{4x}$. Das Stellmoment ist somit $4s\Phi_{3x}$ und es entstehen in den Drehzapfen die Kräfte $P_M = 4s\Phi_{3x}/a$. Die Kräfte P_M in D_1 und D_2 müssen im Uhrzeigersinn wirken, um die Längskomponenten Φ_{3x} zu überwinden.

Nach Bild 4 kommt bei Aussenanlauf aller Drehgestellachsen die Mittelachse 3 nicht zum Aussenanlauf, weil nach Erschöpfung ihres Seitenspiels von 34 mm noch der geschwächte Spurkranz von Einfluss ist. Die Mittelachse 4 kommt aber zum Innenanlauf, ihre μQ -Querkomponenten Φ_{4y} und Φ'_{4y} werden durch die dazugehörige Schienenrichtkraft unmittelbar getilgt und beeinflussen den Hauptrahmen weiter nicht.

An der Mittelachse 3 treten hingegen die μQ Querkomponenten $\Phi_{3y} = \Phi'_{3y}$ auf, und zwar als Reibungswiderstände der durch die Schwenkbewegung des Hauptrahmens erzeugten Querverschiebung dieser Achse nach der Bogeninnenseite. Sie lassen sich zur Stellkraft $S_3 = 2\Phi_{3y}$ vereinigen. Durch die Stellkraft S_3 entsteht im vorderen Drehzapfen D_1 die Reaktion P_{3V} und im hinteren Drehzapfen D_2 die Reaktion P_{3H} . Nach den in Bild 3 angegebenen Abmessungen des Hauptrahmens gilt $P_{3V} \cdot 8,8 = S_3 (4,4 + 1,91)$ oder $P_{3V} = 0,716S_3$. Für die Reaktion P_{3H} am hinteren Drehgestell ergibt sich $P_{3H} = S_3 - P_{3V} = 0,284S_3$.

γ) Gesamte Drehzapfen-Richtkräfte

In Bild 3 sind die Drehzapfen-Richtkräfte P_1 und P_2 als Reaktionen, d.h. in jenem Sinn gezeichnet, wie sie von den Drehgestellen aus auf den Hauptrahmen wirken. Beide Fliehkraftanteile $F_0/2$ des Oberkastens und die Anteile aus der Stellkraft S_3 , d.h. die Kräfte P_{3V} und P_{3H} , wirken nach der Bogenaussenseite, im Rechtsbogen des Gleises also nach links. Die durch das Stellmoment entstehenden Kräfte P_M wirken aber verschieden, nämlich am vorderen Drehgestell nach aussen, am hinteren nach der Bogeninnenseite, die Reaktionen also im Sinne von Bild 3. Dementsprechend ist auch $P_1 > P_2$. Aus den einzelnen Anteilen ergibt sich somit für den vorderen Drehzapfen D_1 :

$$(2) \quad P_1 = F_0/2 + P_M + P_{3V} = \frac{G_0}{2 \cdot 9,81R} (v^2 - v_0^2) + \frac{4s\Phi_{3x}}{a} + 0,716 \cdot 2 \cdot \Phi_{3y}$$

und für den hinteren Drehzapfen D_2 :

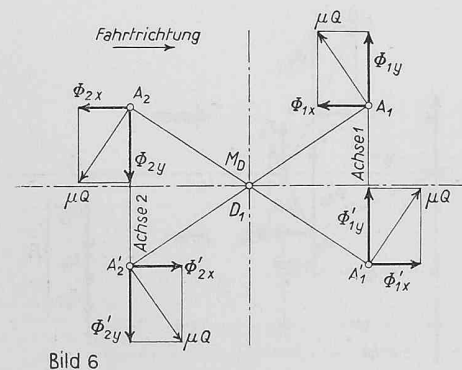


Bild 6

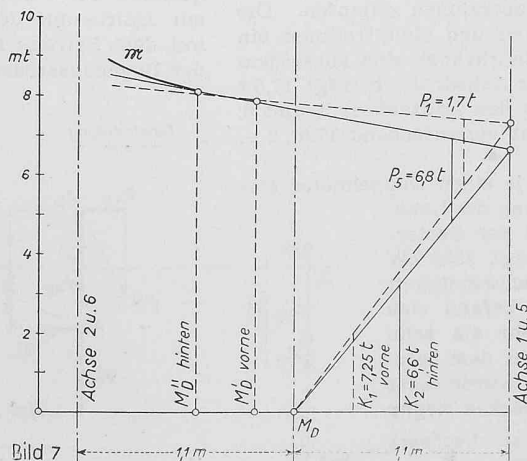


Bild 7

$$(3) \quad P_2 = F_0/2 - P_M + P_{3H} = \frac{G_0 (v^2 - v_0^2)}{2 \cdot 9,81 \cdot R} - \frac{4s\Phi_{3x}}{a} + 0,284 \cdot 2 \cdot \Phi_{3y}$$

In den Gleichungen (2) und (3) ist nur das erste Glied von der Fahrgeschwindigkeit abhängig. Dieser Umstand spielt beim Vergleich mit den gemessenen Werten eine Rolle.

c) Minimumbild der Drehgestelle

Zur Beurteilung der gerechneten Lösung ist auf Bild 5 zunächst das untersuchte Laufwerk aber ohne die Mittelachsen 3 und 4 dargestellt. Bei Fahrt mit ausgeglichener Geschwindigkeit, also ohne freie Fliehkraft, laufen die Achsen 1 und 5 aussen an, 2 und 6 stehen radial. Bei Vorhandensein grösserer freier Fliehkraft tritt auch Aussenanlauf der Achsen 2 und 6 und damit Sehnenstellung (gestrichelt gezeichnet) ein. In beiden Fällen sind am vorderen und hinteren Drehgestell alle Laufwerkkräfte gleich.

Sind im Hauptrahmen aber Mittelachsen vorhanden, so entstehen nach der in Punkt 3, b, γ, gezeigten Art am vorderen und hinteren Drehgestell verschieden grosse Drehzapfen-Richtkräfte, die ihrerseits wieder rückwirkend die Einstellung der Drehgestelle vorne und hinten und damit auch die des Hauptrahmens verschieden gross beeinflussen. Dieser Wechselwirkung entspricht ein ganz bestimmtes Gleichgewicht der Laufwerkkräfte, das aber nur durch umständliche Rechnung zu ermitteln ist.

Besteht grössere freie Fliehkraft, so tritt auch in dem auf Bild 5 dargestellten Fall Sehnenstellung ein; die Laufwerkkräfte sind an den beiden Drehgestellen verschieden, die μQ -Kräfte sind aber, wie Bild 6 zeigt, zentrisch-symmetrisch um den Drehzapfen D_1 und um den Reibungsmittelpunkt $M'D$, wodurch die Zahlenrechnung wesentlich vereinfacht wird. Vorausgreifend auf die Messergebnisse sei schon hier vermerkt, dass nach einer vorgenommenen Kontrollrechnung der zahlenmässige Unterschied der Laufwerkkräfte bei Sehnenstellung gegenüber der vorerwähnten Gleichgewichtslage kleiner ist als die durch die Rechnung nicht kontrollierbare Streuung der Messergebnisse.

Die durch Annahme der Sehnenstellung bewusst entstehende Unschärfe der Zahlenrechnung zeigt sich klarer an Hand des Minimumbildes²⁾ der Drehgestelle (Bild 7). Für beide Fälle, d. h. vorderes und hinteres Drehgestell, sind am Drehzapfen wirkend die Mittelkräfte $K_1 = P_1 + F_D$ und $K_2 = P_2 + F_D$ eingeführt, wobei F_D die Fliehkraft des kompletten Drehgestelles bedeutet.

Die M-Kurve ist nach einer noch später folgenden Begründung für $\mu = 0,17$ entwickelt.

Wie ersichtlich, liegt der Reibungsmittelpunkt $M'D$ des vorderen Drehgestelles knapp hinter dem Drehzapfen D_1 ; für das hintere Drehgestell ($M''D$) etwa auf halbem Wege zur Achse 6. Es besteht also keine entscheidende Abweichung gegenüber der Sehnenstellung, für welche in beiden Fällen die Reibungsmittelpunkte $M'D$ und $M''D$ in den Drehzapfen liegen müssten.

d) Einzelkräfte an den Drehgestellen

α) Drehgestellachsen

Nach Bild 8 unten ergibt die Lage des Reibungsmittelpunktes $M'D$ in der Längsmittle

²⁾ Heumann: Grundzüge der Führung der Schienenfahrzeuge. «Elektrische Bahnen» 1950, Nr. 4.

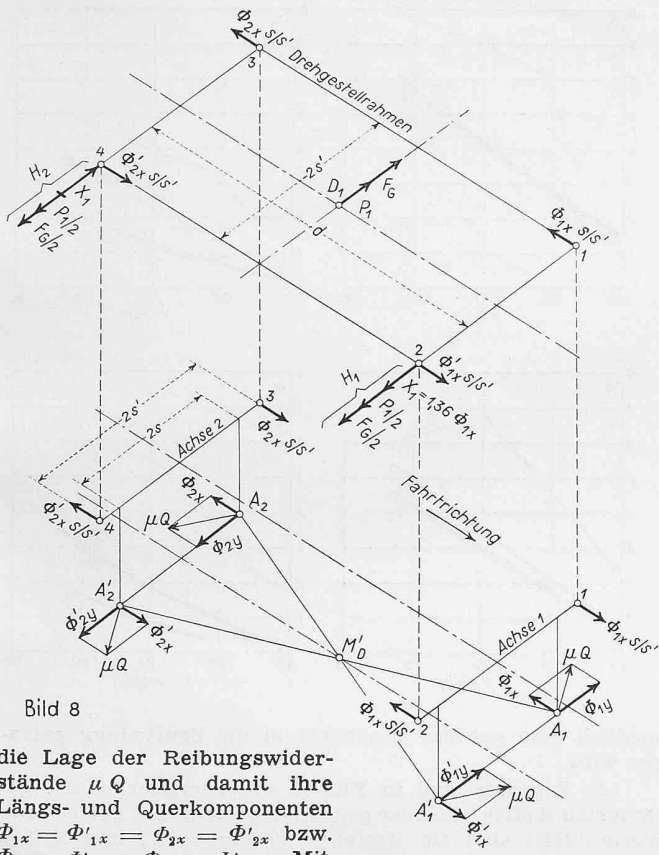


Bild 8

die Lage der Reibungswiderstände μQ und damit ihre Längs- und Querkomponenten $\Phi_{1x} = \Phi'_{1x} = \Phi_{2x} = \Phi'_{2x}$ bzw. $\Phi_{1y} = \Phi'_{1y} = \Phi_{2y} = \Phi'_{2y}$. Mit $2s =$ Spurweite und $2s' =$ Lagermitten-Abstand entstehen in den Lagermitten 1, 2, 3 und 4 die Reaktionen Φ_{1x} (s/s'), Φ_{2x} (s/s') usw. Diese vorgenannten Kräfte setzen die Achsen bzw. Radsätze ins Gleichgewicht, und zwar hinsichtlich der Momente um die Achswellen 1 und 2 und auch hinsichtlich der Längsrichtung.

In der Querrichtung erzeugen an der Achse 1 die Querkomponenten $\Phi_{1y} = \Phi'_{1y}$ die Schienen-Richtkraft $2\Phi_{1y}$. Diese quer zur Fahrtrichtung liegenden und unmittelbar zwischen Rad und Schiene wirkenden Kräfte sind messtechnisch nicht erfassbar und werden hier auch nicht weiter verfolgt. An der Achswelle 2 müssen die Querkomponenten $\Phi_{2y} = \Phi'_{2y}$ durch eine Kraft im Achslager von der Grösse $2\Phi_{2y}$ ins Gleichgewicht gesetzt werden. Auf ihre Bedeutung wird weiter unten noch zurückgekommen.

β) Drehgestellrahmen

In Bild 8 oben ist der Drehgestellrahmen vereinfacht als ebene Platte dargestellt. Diese Vereinfachung ist zulässig, da sich die Höhenlage der Achslager und die des Drehzapfens über Schienen-Oberkante nur wenig voneinander unterscheiden. Die Gegenkräfte Φ_{1x} (s/s')... der Längskräfte in den Achslagermitten 1 bis 4 sind entgegengesetzt gerichtet, d. h. sie suchen die Platte (Drehgestellrahmen) um D_1 entgegen dem Uhrzeigersinn zu drehen. Das Gleichgewicht fordert das Bestehen von Kräften X_1 in den Achslagern, deren Grösse sich mit $s = 0,75$ m (halbe Spurweite) und $d = 2,2$ m (Drehgestell-Achsstand) aus $2,2 \cdot 0,75 \Phi_{1x} = X_1 \cdot d$ bestimmt. Richtung und Lage der Kräfte X_1 werden sofort klar, wenn man sich vorstellt, dass sie es sind, die das Drehgestell dem Rechtsbogen entsprechend im Uhrzeigersinn schwenken.

Die Drehzapfen-Richtkräfte P_1 und P_2 sowie die freie Fliehkraft F_D des Drehgestellrahmens (ohne Achsen) verteilen sich je zur Hälfte auf die Achslager, wie ebenfalls Bild 8 zeigt.

e) Achslager-Seitenkräfte

Die gesamten Achslager-Seitenkräfte für die Achsen 1, 2, 5 und 6 ergeben sich daher zu:

$$\begin{aligned} (4) \quad H_1 &= 1,36 \Phi_{1x} + P_1/2 + F_G/2 \\ (5) \quad H_2 &= P_1/2 + F_G/2 - 1,36 \Phi_{1x} \\ (6) \quad H_5 &= 1,36 \Phi_{5x} + P_2/2 + F_G/2 \\ (7) \quad H_6 &= P_2/2 + F_G/2 - 1,36 \Phi_{6x} \end{aligned}$$

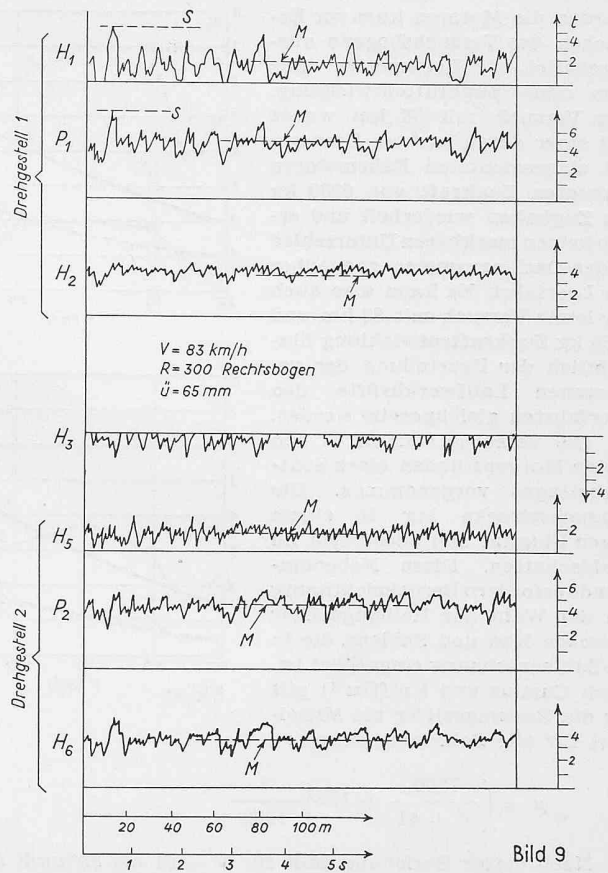


Bild 9

Für die Zahlenrechnung sind im Falle der höchsten untersuchten Werte massgebend: Die halbe Spurweite $s = 0,75$ m, die μQ -Längskomponente der Achse 3 $\Phi_{3x} = 0,65$ t, der Drehzapfenabstand $a = 8,8$ m, die μQ -Querkomponente der Achse 3 $\Phi_{3y} = 1,35$ t, die μQ -Längskomponente der Achse 1 $\Phi_{1x} = 0,84$ t und das Drehgestellgewicht $G_D = 5000$ kg. Man erhält durch Einsetzen in die Gleichungen (2) bis (7):

$$\begin{aligned} H_1 &= 4,51 \text{ t}, \quad P_1 = 6,08 \text{ t}, \quad H_2 = 2,23 \text{ t}, \\ H_5 &= 4,17 \text{ t}, \quad P_2 = 5,41 \text{ t}, \quad H_6 = 1,89 \text{ t}. \end{aligned}$$

4. Angewendete Messmethode und Versuchsdurchführung

α) Messmethode

Auch bei dieser Untersuchung wurde wieder die Methode der Kohle-Druckmessdosen mit oszillographischer Aufzeichnung verwendet³⁾.

Die Achsen waren seitlich innerhalb der Druckdosen mit einer leichten Vorspannung geführt (Bild 2), deren Grösse das Messergebnis nicht wesentlich beeinflusst. In Bild 9 sind die Oszillogramme der H-Kräfte in den Achslagern und die der Drehzapfen-Richtkräfte P_1 und P_2 wiedergegeben. Da jeweils an jeder Achse, bzw. an jedem Drehzapfen, nur links oder rechts — je nach Richtung des durchlaufenen Gleisbogens — eine Druckanzeige auftreten kann, zeigt das Oszillogramm der gegenüberliegenden Messdose keinen Ausschlag. Der Vorschub erfolgt gemäss dem eingetragenen Masstab nach dem Weg; der Zeitmasstab ist nach der Fahr-geschwindigkeit berechnet, die mit verlässlichen Geschwindigkeitsmessern aufgenommen wurde.

β) Versuchsstrecke und Versuchsdurchführung

Es wurden zusammen fünf Fahrten mit den Geschwindigkeiten 51, 56, 61, 70 und 83 km in zwei Gleisbogen, und zwar in einem Linksbogen und einem Rechtsbogen von je 300 m Halbmesser vorgenommen. Der Oberbau befand sich im ersten Fall in mittlerem, im zweiten Fall in gutem Erhaltungszustand. Die Messungen mit 51, 61 und 70 km beziehen sich auf den mittelmässig erhaltenen Linksbogen, die mit 56 und 83 km auf den gut erhaltenen Rechtsbogen. Der Versuchszug bestand nur aus der Lokomotive und dem Messwagen. Mit Ausnahme der letzten Fahrt mit $V = 83$ km,

³⁾ C. Th. Müller: Laufsicherheitsprüfung bei der Deutschen Reichsbahn. «Organ» 1941, Heft 15

wurden die Motoren kurz vor Erreichen des Versuchsbogens ausgeschaltet, die Lokomotive fuhr also ohne Zugkraftentwicklung. Der Versuch mit 56 km wurde mit einer durch leichtes Bremsen bei eingeschalteten Fahrmotoren erzeugten Zugkraft von 6300 kg am Zughaken wiederholt und ergab keinen merklichen Unterschied in den Oszillogrammen gegenüber der Leerfahrt. Es kann also auch der letzte Versuch mit 83 km und 4250 kg Zugkraftentwicklung hinsichtlich der Beurteilung der gemessenen Laufwerkkräfte den Leerfahrten gleichgesetzt werden.

Die Versuche wurden in den ersten Morgenstunden eines Spätherbsttages vorgenommen. Die Versuchsstrecke lag in einem engen Flusstal und ausserdem im Waldschatten. Diese Nebenumstände erfordern Berücksichtigung bei der Wahl der Reibungsziffer zwischen Rad und Schiene, die in die Zahlenrechnung eingeführt ist. Nach Curtius und Kniffler⁴⁾ gilt für die Reibungsziffer als Mittelwert für alle Schienenzustände:

$$\mu = \left(\frac{7500}{V + 44} + 161 \right) \frac{1}{1000}$$

Nach dieser Beziehung fällt für $V = 51$ bis 83 km/h der Wert μ von 0,24 auf 0,22 ab. Die untere Grenze des Streubereiches der Versuche von Curtius und Kniffler liegt im vorgenannten Geschwindigkeitsbereich zwischen $\mu = 0,13$ und $0,11$ und bezieht sich auf den ungünstigsten Schienenzustand. Im Hinblick auf die vorerwähnte örtliche Lage der Strecke und die Zeit der Versuche können wohl feuchte Schienen, aber nicht der ungünstige Zustand angenommen werden. Es ist daher mit einer Reibungsziffer von $\mu = 0,17$ gerechnet.

5. Gegenüberstellung der gerechneten und gemessenen Werte

Der in Bild 9 gezeichnete Ausschnitt bezieht sich auf die fünfte Fahrt im reinen Gleisbogen, also nicht in den Uebergangsbogen, und umfasst — wie die eingezeichneten Masstäbe zeigen — bei $V = 83$ km/h eine durchfahrene Bogenlänge von 200 m, bzw. eine Fahrzeit von 8,7 s. Der bei diesem Versuch gefahrenen Geschwindigkeit von 83 km/h entspricht in der bekannten Beziehung $V = K \sqrt{R}$ ein Festwert $K = 4,8$, während im normalen Betrieb in einem Gleisbogen von $R = 300$ m und 65 mm Ueberhöhung nur 70 km/h entsprechend $K = \sim 4$ zugelassen sind.

Für diese Fahrt war absichtlich eine Geschwindigkeit gewählt worden, die wesentlich über der normalen liegt, um die Laufwerkkräfte, besonders soweit sie von der Geschwindigkeit abhängig sind, schärfer hervortreten zu lassen. Das Studium von Druck-Schaulinien der Laufwerkkräfte anderer Fahrzeuge hatte deutlich gezeigt, dass eine Reihe von Nebeneinflüssen, wie Unstetigkeit der Bogenkrümmung, Ueberhöhungsfehler, zu grosse freie Spiele (Abnützungen) im Laufwerk und auch die Schlingerbewegung als Folge der konischen Radreifen den Verlauf stark beeinflussen. Auf Bild 3, der unter Fussnote 1 erwähnten Untersuchung der gleichen Lokomotive ist beispielsweise zu erkennen, dass der Verlauf der Druck-Schaulinien wesentlich unruhiger ist, weil diese Fahrt auf einem Gleisbogen mittleren Erhaltungszustandes stattfand. In allen Fällen erscheint aber das Oszillogramm, das theoretisch eine Gerade sein sollte, in eine Reihe mehr oder weniger scharfer Spitzen aufgelöst.

Der mit der Rechnung in Vergleich gestellte Messwert der Laufwerkkräfte ist als Mittelwert den Oszillogrammen entnommen und auf Bild 9 mit M bezeichnet. Der Kräftemasstab des Oszillogrammes ist infolge der konstruktiven Ausbildung der Kohle-Druckdosen nicht linear, wodurch unver-

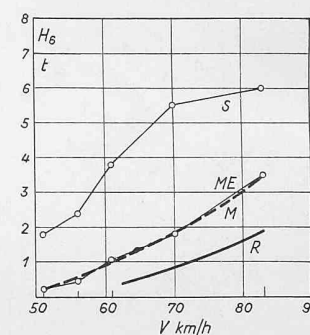
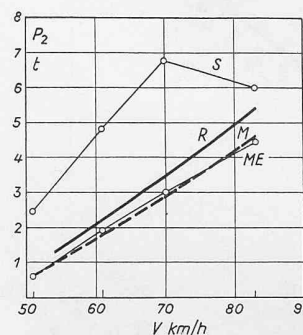
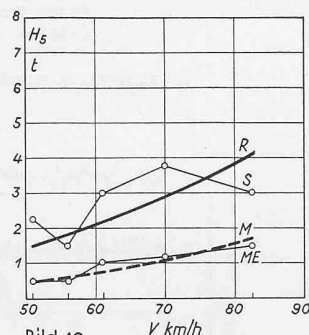
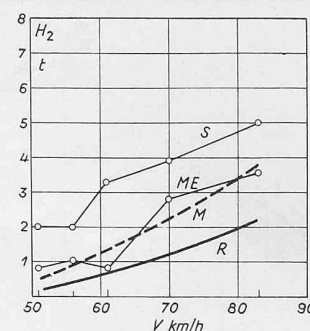
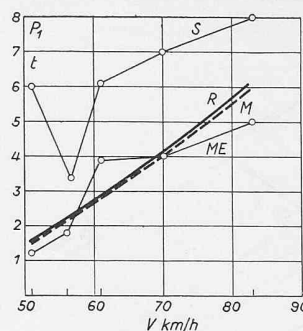
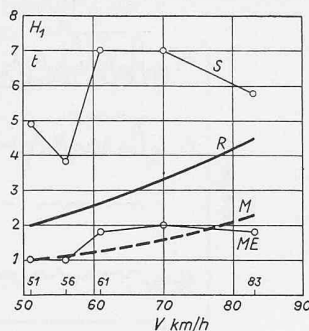


Bild 10

meidlich eine gewisse Unschärfe in die Beurteilung getragen wird.

Als Ergebnis sind in Bild 10 die gemessenen und gerechneten Kräfte einander gegenübergestellt. Die gemessenen Werte (ME) sind als Kreise eingetragen und ihre Mittelwerte (M -Linien) durch eine gestrichelte Linie wiedergegeben, während die gerechneten Werte (R -Linien) voll gezeichnet sind. In den Gleichungen (4) bis (7) für die Querkräfte in den Achslagern sind $P_1/2$, $P_2/2$ und $F_G/2$ die von der Fahrgeschwindigkeit abhängigen Glieder, weil sie die Fliehkraft enthalten, während die Glieder $1,36 \Phi_{1x} \dots$ von der Fahrgeschwindigkeit unabhängig sind, solange man auch der Reibungsziffer μ dieses Verhalten zuschreibt. Im untersuchten Geschwindigkeitsbereich sei diese Annäherung gestattet. Die Neigung der R -Linien über der Fahrgeschwindigkeit ist daher nur durch die Fliehkraft bestimmt.

Zur Berechnung der Drehzapfen-Richtkräfte P_1 und P_2 sei noch bemerkt, dass bei deren Ermittlung der Einfluss der Achse 3 nach Punkt 3, b, γ , nicht nach dem Rechnungswert, sondern nach dem Oszillogramm (Bild 9) mit $H = 0,5$ t angenommen wurde. Nach dem Kurvenplan (Bild 4) sollte die Achse 3 noch nicht aussen anlaufen, also die durch μQ -Querkräfte bedingte H -Kraft voll auftreten. Durch die seitliche Nachgiebigkeit der Aussenschiene rückt aber das ganze Fahrzeug und damit auch die Achse 3 nach der Bogenaußenseite. Die Achse 3 kommt damit, wie ihre Druck-Schaulinie zeigt, teilweise zum Aussenanlauf; ein Teil ihrer H -Kraft wird von der Aussenschiene gewissermassen abgefangen, sodass im Lager nur ein Wert von $H \sim 0,5$ t verbleibt.

6. Schlussfolgerungen

Für die beiden Drehzapfen-Richtkräfte P_1 und P_2 besteht gute Uebereinstimmung zwischen Messung und Rechnung, während für die vorauslaufenden Achsen jedes Drehgestelles, also die Achsen 1 und 5, die Messung kleinere, an der Achse 1 sogar wesentlich kleinere Werte ergibt. An den nachlaufenden Drehgestellachsen 2 und 6 ist die Uebereinstimmung wohl besser als an den Achsen 1 und 5, doch fällt auf, dass die Messung in diesem Falle nicht niedrigere, sondern höhere Werte zeigt.

Als Ergebnis der vorliegenden Untersuchung sind die R - und M -Linien von Bild 10 anzusprechen. Die gute Uebereinstimmung bei den Drehzapfen-Richtkräften P_1 und P_2 ist einfach durch den Umstand zu erklären, dass der überwiegend grösste Teil dieser Kräfte aus der Fliehkraft des Oberkastens besteht, die genau und ohne wesentliche Fehlerquelle zu rechnen ist; anders ist aber die gegenseitige Lage der R - und M -Linien bei den H -Kräften in den Achslagern. Es zeigt sich wohl, dass die grundlegende Theorie als verlässlich angesprochen werden kann, wenn es sich darum handelt, die

⁴⁾ Curtius und Kniffler: Neue Erkenntnisse über die Haftung zwischen Treibrad und Schiene. «Elektrische Bahnen» 1944, Nr. 1 bis 2.

Fahrzeugstellung im Gleis, also beispielsweise Aussen- und Innenanlauf einer Achse vorauszusagen. Anders sind aber die Kräfte zu beurteilen. Wie schon Nordmann erwähnt⁵⁾, liegt die Hauptschwierigkeit einer klaren Deutung in der Form der Druck-Schaulinien. Es ist bis heute nur teilweise bekannt, auf welche Ursachen die Auflösung in scharfe Spitzen zurückzuführen ist. Der Einfluss der Gleislage wurde für einen Fall mit besonders markantem Hervortreten in einer schon weiter oben genannten Studie der gegenständlichen Lokomotive behandelt. Besonders undurchsichtig werden die Zusammenhänge dann, wenn sich die wirkliche Form der Gleislage, die von ihrer rein geometrischen immer mehr oder weniger abweicht, und der Einfluss der ungewollten Elastizitäten an Gleis und Fahrzeug in nicht näher bekannter Art überlagern. Mit Ausnahme der Rückstellvorrichtungen seitenverschieblicher Fahrzeugteile — Rückstellfedern,

⁵⁾ Nordmann: Die Laufeigenschaften der Lokomotiven. «Organ» 1941, Heft 9/10.

Pendelwiegen usw. — ist die elastische Nachgiebigkeit ebenso ungewollt wie notwendig, da bei völliger Starrheit unendlich grosse Kräfte entstehen würden. Diesen Widerspruch empfindet in erster Linie der Konstrukteur unangenehm, weil die Fragen der elastischen Verformung nur durch sehr zeitraubende Rechnungen behandelt werden können.

Die sehr selten und vereinzelt auftretenden Druckspitzen sind als S-Linie ebenfalls auf Bild 10 wiedergegeben. Im allgemeinen werden diese Druckspitzen noch innerhalb des üblichen Sicherheitsgrades liegen, den man bei der konstruktiven Bemessung der Fahrzeugteile anzuwenden pflegt. In Einzelfällen können sie Entgleisungsgefahr bedeuten.

Auch die kräftetechnische Analyse der Messungen ergibt wertvolle Hinweise, aber nicht absolute, sondern nur Richtwerte. Die weitere Forschung wird sich auch eingehend mit jenen Nebeneinflüssen beschäftigen müssen, die heute noch eine empfindliche Unschärfe in die Beurteilung tragen.

Lichtsignal-Anlage beim Bahnübergang Winterthur-Töss

DK 625.746.53 (494.34)

Lichtsignalanlagen dienen zur Regelung und Sicherung des allgemeinen Strassenverkehrs an Kreuzungen und auf Plätzen. Dass mit ihrer Hilfe aber auch aussergewöhnliche Sonderprobleme zweckmässig gelöst werden können, zeigt eine kürzlich in Winterthur in Dienst gestellte Anlage dieser Art. Bei der Umstellung ihrer letzten Tramlinie auf die schienenfreie Verkehrsbedienung durch den Trolleybus sahen sich die dortigen Verkehrsbetriebe vor einer schwierigen Entscheidung. An sich wäre es erwünscht gewesen, die neue Buslinie im Interesse einer besseren Verkehrsbedienung über den bisherigen Endpunkt Töss der Strassenbahn hinaus zu verlängern, der sich unmittelbar vor dem Niveauübergang der Zürcherstrasse über die SBB-Linie nach Bülach befand. Ganz abgesehen davon, dass die häufigen Zugfahrten auf dieser Bahnstrecke mit der jeweils minutenlangen Schliessung der Schranken einen fahrplanmässigen Trolleybusbetrieb ohnehin verunmöglicht hätten, liess sich aber der beträchtliche Aufwand für die Massnahmen zur Kreuzung der Fahrleitungen von Bus und Bahn schon deswegen nicht verantworten, weil der Bau einer Strassenunterführung geplant ist, mit deren Erstellung die eben erwähnten Einrichtungen hinfällig würden. Es blieb daher nichts übrig, als vorläufig den bisherigen Linienendpunkt beizubehalten, wobei

lich eine Haltebucht ausserhalb der Strasse anordnen; für das Wenden der Busse dagegen muss der Strassenraum in Anspruch genommen werden, und dieses Manöver inmitten des ausserordentlich starken Verkehrs Winterthur—Zürich und umgekehrt ist auf alle Fälle so gefährlich, dass sich die Anordnung besonderer Sicherungsmassnahmen zum Schutz der Busse wie der übrigen Strassenbenützer ohnehin nicht umgehen liess.

In enger und erfolgreicher Zusammenarbeit zwischen den Verkehrsbetrieben Winterthur sowie den übrigen städtischen Behörden, den SBB, dem kantonalen Strassenverkehrsamt und der Berner Firma Hasler AG. wurden diese Probleme durch die Aufstellung einer Lichtsignalanlage gelöst, wie sie nachstehend beschrieben ist, und zwar ausgehend von dem sich alle zehn Minuten wiederholenden Regelfall einer Busfahrt bei offenen Barrieren der SBB. Unmittelbar nach Beginn der Rückfahrt zur Stadt betätigt der Bus durch Berührung eines ersten Fahrleitungskontaktes eine Reihe von Relais, durch die die normalerweise Grünlicht zeigenden Signale an der Zürcherstrasse über Gelb auf Rot umgestellt werden und den Durchgangsverkehr dieser Strasse sperren (Bild 1, Phase B). Durch die Anordnung des Lichtsignals für die Verkehrsrichtung Zürich - Winterthur jenseits des Bahnüberganges ist dabei jede Gefahr ausgeschlossen, dass der Trolleybus den Verkehr auf dem SBB-Gleis anhält und vielleicht dessen Blockierung in einem Augenblicke bewirkt, da die Schranken eines fälligen Zuges wegen rasch geschlossen werden sollten.

Nach Verstreichen der Zeit, während der die letzten Fahrzeuge den gesperrten Strassenabschnitt und damit auf alle Fälle auch den Bahnübergang räumen (Sicherheitshalt, Phase C), vollführt der Bus sein Wendemanöver gemäss Bild 2a. Unmittelbar nach Erreichen der jenseitigen Fahrbahnhälfte, auf der er nunmehr seine Fahrt ungehindert und ungefährdet fortsetzt, bewirkt er durch Berührung eines zweiten Fahrdraktkontaktes die Rückkehr der Signale auf Grün-

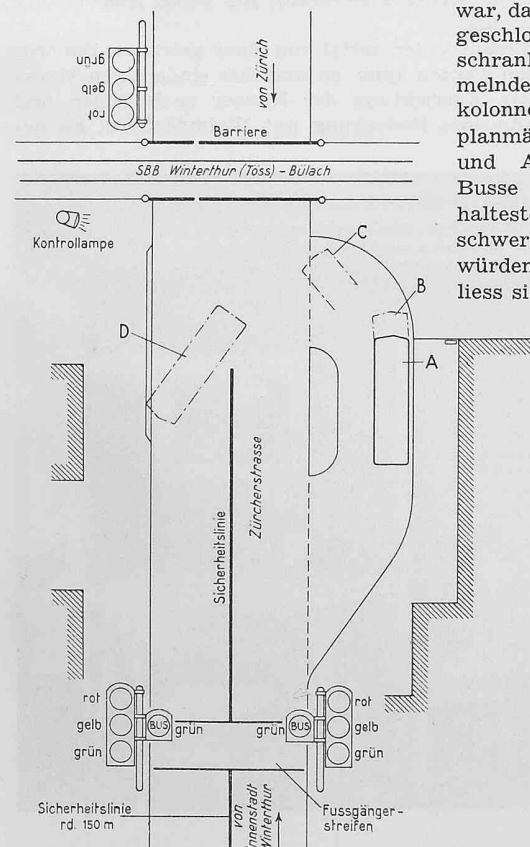


Bild 1 (links). Situationschema der Lichtsignal-Anlage beim Niveauübergang der Hauptstrasse Winterthur - Zürich über die SBB-Linie Winterthur - Bülach

Bild 2 (rechts). Drei Betriebsfälle der neuen Signalanlage

